

Demonstrações no Mathematica em uma Introdução à Teoria Quântica de Campos e Física de Partículas

Um notebook dinâmico e educacional para TQC

Por Bruno Gehlen F. da Silva

Capítulo #1: Introdução e Teoria

Contexto Histórico

O século XX iniciou com a grande descoberta da física quântica por Max Planck e seus estudos sobre a quantização da matéria e o Corpo Negro, permitindo descrever várias oscilações de diferentes modos confinados em uma cavidade (explicando a Catástrofe do Ultravioleta). Albert Einstein interpretou essa quantização como partículas sem massa chamadas fótons e utilizou essas novas descobertas para determinar seus Coeficientes, além do famoso Efeito Fotoelétrico. Com este novo formalismo, é possível utilizar os operadores de Aniquilação e Criação em modos de energia (ou momento) e até mesmo encontrar a Taxa de Transição entre diferentes estados quânticos.

No mesmo século, também houve enormes avanços na área da relatividade: não há um referencial absoluto, a luz viaja a uma velocidade constante e, dependendo da velocidade do observador, diferentes grandezas físicas podem ser medidas. Descobriram-se observáveis invariantes de Lorentz (simétricos por todo o Grupo de Poincaré), pois já se sabia que rotações mantinham normas inalteradas, e agora haviam os Boosts de Lorentz. Também foi descoberto que esses boosts se reduzem às transformações de referencial de Galileu no regime das baixas energias (validando ainda a física clássica tradicional), e então passou-se a lidar com objetos traduzidos como campos e operadores invariantes sob todas essas transformações, sejam elas contínuas ou discretas no universo.

Hoje em dia, a humanidade já foi capaz de conciliar ambas as teorias na então chamada de Teoria Quântica de Campos (TQC), onde, diferente da mecânica quântica usual, a quantidade de

partículas do sistema pode ser modificada ao longo dos processos, sendo assim a base para diversos sistemas de diferentes áreas da física moderna, como o estudo da Matéria Condensada e a Física de Partículas em si. A maneira como a TQC é construída permite que a matriz S (de espalhamento, “scattering”) seja utilizada de forma que, tomando que as interações ocorram em um tempo muito curto comparado o resto do espalhamento e tratando os campos como operadores que criam e/ou aniquilam partículas de certos estados, é possível descrever qualquer processo onde entrem n partículas e saiam m outras.

Formalismo Rápido

Falando propriamente sobre nossa teoria, é necessário lembrar alguns aspectos básicos da Teoria Quântica de Campos. Após a chamada “segunda quantização”, onde são estabelecidas as relações de comutação locais (em tempos iguais) entre os operadores de criação/aniquilação e a normalização dos estados, além de também definir a ação desses operadores em um estado de uma partícula:

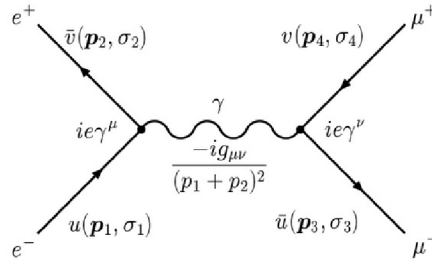
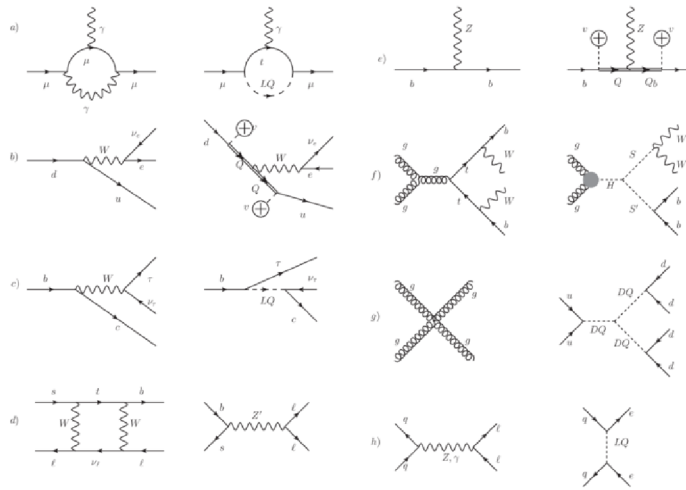
$$[a_k, a_p^\dagger] = (2\pi)^3 \delta^3(\vec{p} - \vec{k}) \quad \langle 0|0 \rangle = 1 \quad a_p^\dagger|0\rangle = \frac{1}{\sqrt{2\omega_p}}|\vec{p}\rangle$$

define-se que n partículas podem simultaneamente ocupar um estado de momento \mathbf{p} , resultando na soma direta dos espaços de Hilbert das i partículas, também chamado de espaço de Fock, permitindo agora a introdução de *Campos Escalares Quânticos*:

$$F_\nu(H) = \bigoplus_{n=0}^{\infty} S_\nu H^{\otimes n} \quad \phi_0(\vec{x}, t) = \int \frac{d^3p}{(2\pi)^3} \frac{1}{\sqrt{2\omega_p}} (a_p e^{-ipx} + a_p^\dagger e^{ipx}),$$

que são soluções da equação de Klein-Gordon e portanto podem ser decompostos em ondas planas. Processos semelhantes se aplicam em *Campos Spinoriais* (que descrevem férmions), o que demanda um aprofundamento no estudo das representações do Grupo de Poincaré **ISO(1,3)** (possui rotações, boosts de Lorentz, inversão temporal e por paridade) e sobre o que são spinores em si, e *Campos Tensoriais*, como do fóton e do hipotético gráviton, que exigem bases com *polarizações* para cada um dos índices do objeto, relacionados com spin inteiro (bósons).

É possível então deduzir as Regras de Feynman, tanto no *espaço de posição* quanto de *momento*, que ajudam durante o já bem estabelecido formalismo de Diagramas de Feynman, estes sendo representações das séries perturbativas que surgem ao calcular as funções entre n -pontos de teorias interagentes:



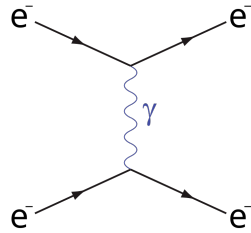
Toda a ideia de diagramas e funções de muitos pontos facilita os cálculos pois basta que todas as amplitudes (chance de um estado inicial chegar em um estado final) que podem fisicamente contribuir para o processo sejam somadas, além de sutilidades como soma sobre spins e polarizações. Além disso, é chegado um momento em que é necessário estudar o processo de *Renormalização* de teorias já que a inserção de loops nos diagramas, apesar de incrementar a precisão, acaba criando divergências nos observáveis, o que certamente não é compatível com quase tudo observado no universo atual, e portanto é necessário deformar a teoria em uma certa escala e fazer modificações em passos intermediários dos cálculos de forma que os observáveis extraídos agora sejam finitos.

Capítulo #2: Cálculos

Primeiros Cálculos

Agora, iniciam-se os cálculos de alguns espalhamentos já conhecidos para avaliar a autenticidade da teoria descrita até aqui. Tomando o famoso *Espalhamento de Møller*, algo extremamente natural na eletrodinâmica quântica escalar, onde dois elétrons se aproximam e se repelem ao trocar

um fóton:



$$e^- e^- \longrightarrow e^- e^-,$$

Pela Lagrangiana, nota-se que os diagramas possíveis são o canal-t e canal-u (e isso pode ser visto com o auxílio do pacote *FeynArts*), e então, definindo a contração de índices e grandezas necessárias (variáveis de Mandelstam) :

```
In[1]:= normLortz[x_, y_] := (x[1]·y[1]) - (x[2]·y[2]) - (x[3]·y[3]) - (x[4]·y[4]);
      «com a assinatura da métrica Lorentziana dada por (·,·,·,·)»

p1 = {p10, p11, p12, p13};
p2 = {p20, p21, p22, p23};
p3 = {p30, p31, p32, p33};
p4 = {p40, p41, p42, p43};
      «definição dos 4 momentos inicialmente genéricos.»

In[6]:= sups1 = {e > 0, g > 0, s > 0, s == e^2/(4 π),
      normLortz[p1.p2, p1.p2] == s,
      «normLortz[p3.p4, p3.p4] == s,»
      normLortz[p1.p3, p1.p3] == t,
      «normLortz[p2.p4, p2.p4] == t,»
      normLortz[p1.p4, p1.p4] == u
      «normLortz[p2.p3, p2.p3] == u.»
    };
      «constante de acomplamento e variáveis de mandelstam;
são as suposições que vão ser usadas nos cálculos.»
sups2 = {
      normLortz[p1.p3, p2.p4] == s.u,
      (p12 p22 . p13 p23 . p10 (p20 . p30) . p11 (p21 . p31) . p12 p32 . p13 p33 .
        p20 p40 . p30 p40 . p21 p41 . p31 p41 . p22 p42 . p32 p42 . p23 p43 . p33 p43) == s . t
    };

In[]:= « « FeynArts`»; «Carregamento do pacote FeynArts caso queira visualizar os diagramas.»
Paint[InsertFields[CreateTopologies[0, 2 - 2], {F[1, {1}], F[1, {1}]}, {F[1, {1}], F[1, {1}]}],
      Model - "QED", GenericModel - "QED"], ColumnsXRows - 2, PaintLevel - {Classes}
      «Utilizando o pacote FeynArts para ver os possíveis
      diagramas para um espalhamento férmions 2.2.»
```

by Hagen Eck, Sepp Kueblbeck, and Thomas Hahn

loading generic model file

homebrunogehlenDocumentos.wolfram.qft.FeynArts.3.11.Models.QED.gen

. \$GenericMixing is OFF

generic model {QED} initialized

loading classes model file

homebrunogehlenDocumentos.wolfram.qft.FeynArts.3.11.Models.QED.mod

. 7 particles (incl. antiparticles) in 2 classes

. \$CounterTerms are ON

. 1 vertices

. 3 counterterms of order 1

classes model {QED} initialized

inserting at levels {Generic, Classes}

. Top. 1: 0 Generic, 0 Classes insertions

. Top. 2: 0 Generic, 0 Classes insertions

. Top. 3: 1 Generic, 1 Classes insertions

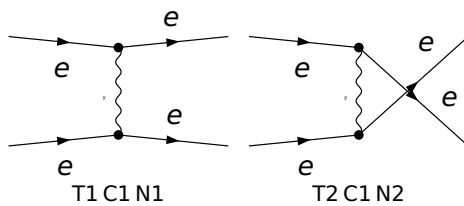
. Top. 4: 1 Generic, 1 Classes insertions

in total: 2 Generic, 2 Classes insertions

. Top. 1 aebfcedfef.m, 0 diagrams

. Top. 2 aebf.cfddeef.m, 0 diagrams

e e . e e



Out[] = FeynArtsGraphics[{e, e} -> {e, e}] {T1 C1 N1, T2 C1 N2, Null, Null}

além dos componentes da seção de choque:

```
In[8]:= vert[g_] := ./. g;
      «Cada vértice dá um fator  $\left(-g\right)$ »
propEsc[p_, m_] := ./. (normLortz[p, p] - m ^ 2);
propFot[p_] := ./. / normLortz[p, p];
      «O propagador depende do diagrama que contribue.»
      [notação O]
mDiagramaQEDescalar[m_, g_, numVert_, numPropFot_, pIn_, pOut_, pPropg_] :=
  (vert[g_] ^ numVert_) .
  (propFot[pPropg_] ^ numPropFot_) .
  (normLortz[pIn_, pOut_] ^ 0);
      «Os fatores  $\kappa$  foram retirados pois  $m^2, s, t, u$  e estamos no gauge de Feynman.»
      «constantes como c e  $\hbar$  já estão definidos como 1.»
mQEDesc.mDiagramaQEDescalar «Um alias para diminuir o tamanho da função.»;

In[9]:= crossSectionQEDCM[m_, g_, s_, t_, u_] :=
  (1 / (64 .  $\pi$  ^ 2 . normLortz[p1.p2, p1.p2])) . Abs[mQEDesc[m_, g_, 2, 1, p1.p2, p3.p4, p1.p2].s] .
      [valor absoluto]
  (mQEDesc[m_, g_, 2, 1, p1.p3, p2.p4, p1.p3].t) .
  (mQEDesc[m_, g_, 2, 1, p1.p4, p2.p3, p1.p4].u) ^ 2;
      «O total será a soma das contribuições, e neste caso apenas os diagramas T e U.»
      [notação O]
d.d[m_, g_, s_, t_, u_] := Simplify[
      [simplifica]
  Simplify[crossSectionQEDCM[m_, g_, s_, t_, u], Assumptions -> sups1], Assumptions -> sups2];
      [simplifica] [premissas] [premissas]
      «Um alias para diminuir o tamanho da função, assumir acoplamentos
      positivos e assumir as variáveis de Mandelstam e suas relações.»
```

encontra - se que a seção de choque será dada por

```
In[10]:= secacao . d.d[m_e, e, 0, 1, 1]
```

$$\text{Out[10]} = \frac{\frac{1}{4} \text{Abs}\left[\frac{(t u) (s t u)^2}{t u}\right]}{4 s}$$

condizente com a literatura! Escrevendo as variáveis de Mandelstam em função do ângulo

```
In[11]:= sups3 = {t -> 2 (a ^ 2) (Cos[ $\theta$ ] - 1), u -> 2 (a ^ 2) (Cos[ $\theta$ ] . 1),  $\kappa$  -> 1 / 137, s -> 4 b ^ 2};
      [cosseno] [cosseno]
```

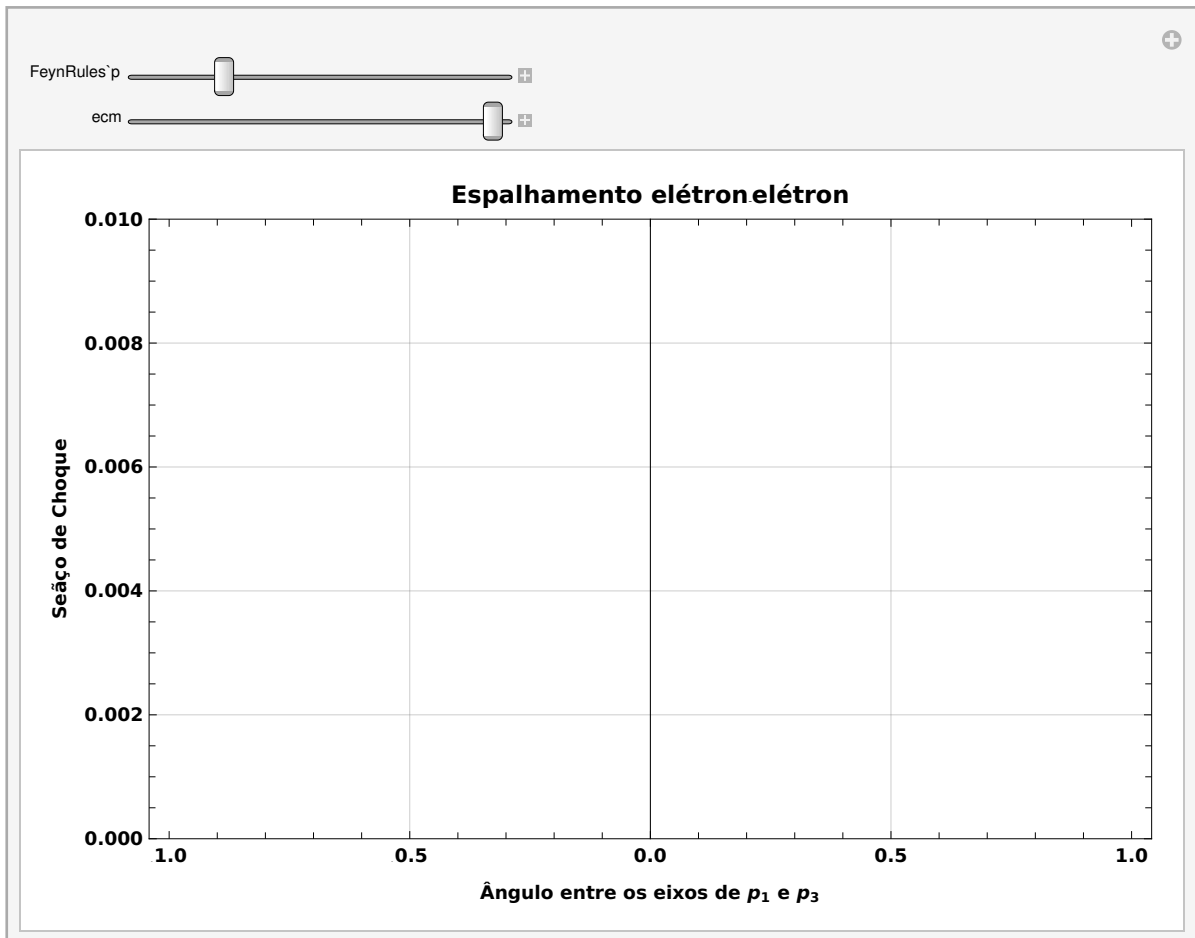
é possível plotar a seção de choque no limite relativístico:

```

In[ ]:= secaoplot . secao /. sup3;
ManipulatePlot[secaoplot /. {a - p, b - ecm}, {ϕ, 0, π/2}, PlotRange - {0, 0.01}, Frame - True,
  manipula gráfico intervalo do gráfico quadro verdade
  FrameLabel - {"Ângulo entre os eixos de  $p_1$  e  $p_3$ ", "Seção de Choque"},
  legenda do quadro
  LabelStyle - Directive[Bold, 10], Ticks - Automatic,
  estilo de eti diretiva negrito marc automático
  ImageSize - Large, GridLines - Automatic,
  tamanho da grande grade de l automático
  PlotLabel - "Espalhamento elétron-elétron", {{p, 3}, 1, 10}, {{ecm, 10}, 1, 10}
  etiqueta de gráfico

```

Out[]:=



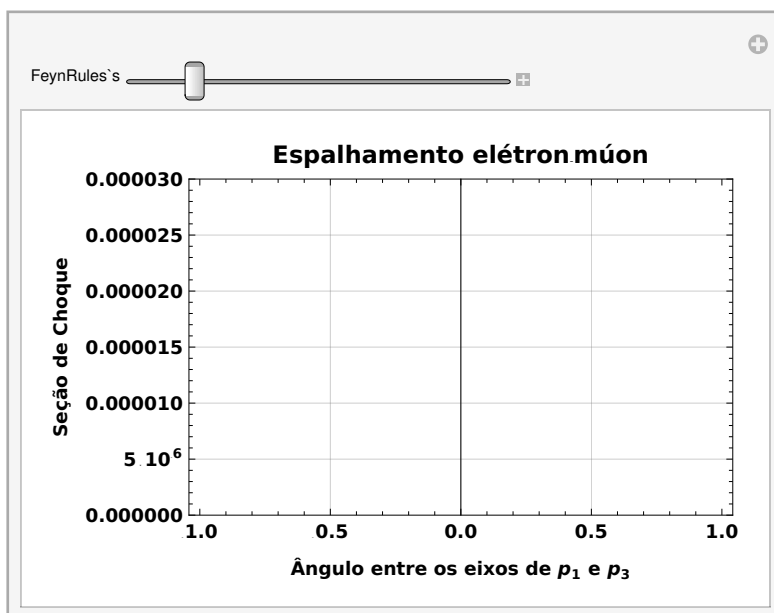
Outros Campos

Plotando a seção de choque do espalhamento elétron-múon no limite relativístico:

```
In[ ]:= secchoqmuon . (1 / 137 ^ 2) . (1 / (4 . a)) . (1 . Cos[ $\theta$ ]2);
```

```
Manipulate[Plot[secchoqmuon /. {a -> s}, { $\theta$ , 0,  $\pi/2$ }, PlotRange -> {0, 0.00003}, Frame -> True,
  FrameLabel -> {"Ângulo entre os eixos de  $p_1$  e  $p_3$ ", "Seção de Choque"},
  LabelStyle -> Directive[Bold, 10], Ticks -> Automatic, ImageSize -> Medium,
  GridLines -> Automatic, PlotLabel -> "Espalhamento elétron-múon", {{s, 1}, 0.01, 7}]
```

Out[]:=



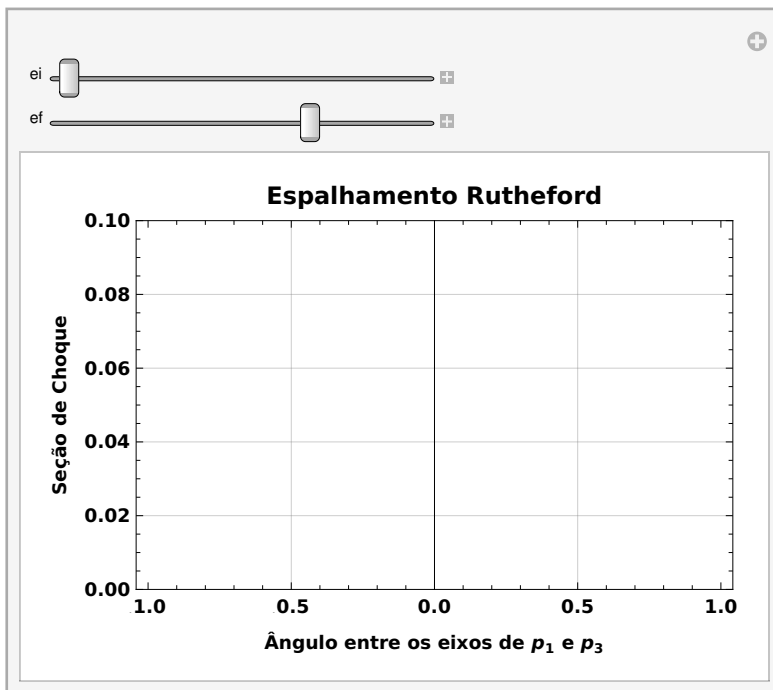
Plotando outras seções de choque como a do *Espalhamento Rutheford* e *Compton*, tem-se:


```

In[ ]:= secchoqruth .  $\left( \frac{a^2}{4 \cdot a \cdot \sin(\theta/2)} \cdot \left( \frac{b}{a} \right) \cdot \left( \cos(\theta/2)^2 \cdot \left( \frac{a-b}{mp} \right) \cdot \sin(\theta/2)^2 \right) \right);$ 
sup4 . {a - 1/137, mp - 938};
Manipulate[
  Plot[Evaluate[secchoqruth /. sup4] /. {a - ei, b - ef}, {e, 0,  $\pi/2$ }, PlotRange - {0, 0.1},
  Frame - True, FrameLabel - {"Ângulo entre os eixos de  $p_1$  e  $p_3$ ", "Seção de Choque"},
  LabelStyle - Directive[Bold, 10], Ticks - Automatic,
  ImageSize - Medium, GridLines - Automatic,
  PlotLabel - "Espalhamento Rutheford", {ei, 0.1, 10}, {{ef, 7}, 0.1, 10}]

```

Out[]:=



```

In[ ]:= secchoqcompt .  $\left( \frac{\pi \cdot a^2}{2 \cdot a^2} \right) \cdot \left( \frac{1 \cdot \text{Cos}[\theta]}{4} \right) \cdot \left( \frac{1}{b^2 / (2 \cdot a^2)} \cdot 1 \cdot \text{Cos}[\theta] \right)$ ;
                                [cosseno]
                                [cosseno]

sup5 = {a -> 1/137};

Manipulate[Plot[Evaluate[secchoqcompt /. sup5], {a -> w, b -> m}, {w, 0, \pi/2}, Frame -> True,
[manipula] [grá] [calcula]                                [quadro] [verdadeiro]

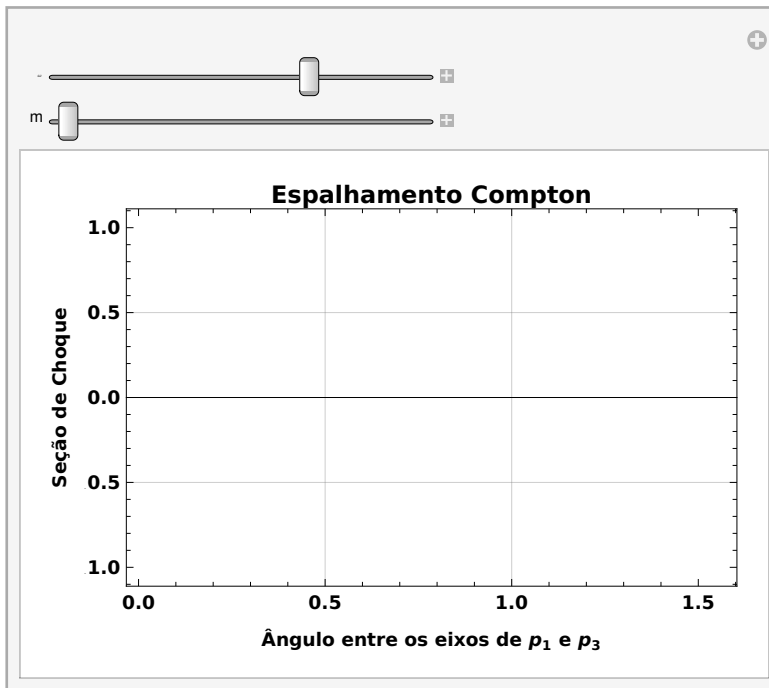
  FrameLabel -> {"Ângulo entre os eixos de p1 e p3", "Seção de Choque"},
  [legenda do quadro]

  LabelStyle -> Directive[Bold, 10], Ticks -> Automatic, ImageSize -> Medium,
  [estilo de eti] [diretiva] [negrito] [marc] [automático] [tamanho da] [tamanho mediano]

  GridLines -> Automatic, PlotLabel -> "Espalhamento Compton", {{w, 7}, {0.1, 10}, {m, 0.1, 10}}
  [grade de l] [automático] [etiqueta de gráfico]

```

Out[]:=



Além disso, também é possível também calcular os possíveis decaimentos das partículas de uma lagrangiana em outras duas, por meio do pacote *FeynRules*, que possui essa funcionalidade nativamente, como pode ser visto:

```

In[]:= $FeynRulesPath.SetDirectory[FileNameJoin[{NotebookDirectory[], "feynrules.current"}]]
      |define diretório |une nome do |diretório do notebook
      «Define-se o diretório do pacote FeynRules, documentado em seu site oficial.»;
      .. FeynRules`«Checa
        se o bom carregamento do pacote (alguns erros podem aparecer, são ignoráveis)»;
      SetDirectory[$FeynRulesPath.«Models.SM»]
      |define diretório
      «Defin-se o diretório do modelo do Modelo Padrão.»;
      LoadModel["SM.fr"]«Carregase o modelo do Modelo Padrão.»;
      LoadRestriction["Massless.rst", "DiagonalCKM.rst"]
      «Carregase as restrições do Modelo Padrão.»;
      FeynmanGauge . True;
      |verdadeiro

```

- FeynRules -

Version: 2.3.49 (29 September 2021).

Authors: A. Alloul, N. Christensen, C. Degrande, C. Duhr, B. Fuks

Please cite:

- Comput.Phys.Commun.185:2250-2300,2014 [arXiv:1310.1921];
- Comput.Phys.Commun.180:1614-1641,2009 [arXiv:0806.4194].

<http://feynrules.phys.ucl.ac.be>

The FeynRules palette can be opened using the command `FRPalette`.

This model implementation was created by

N. Christensen

C. Duhr

B. Fuks

Model Version: 1.4.7

<http://feynrules.phys.ucl.ac.be/viewMainStandardModel>

For more information, type `ModelInformation`.

- Loading particle classes.
- Loading gauge group classes.
- Loading parameter classes.

Model Standard Model loaded.

Loading restrictions from `Massless.rst` : PRIVATE`FR\$restrictionCounter , 18

Loading restrictions from `DiagonalCKM.rst` : PRIVATE`FR\$restrictionCounter , 3

Restrictions loaded.

`In[]:= decay.ComputeWidths[FeynmanRules[LSM]]`

Starting Feynman rule calculation.

Expanding the Lagrangian...

Expanding the indices over 2 cores

Collecting the different structures that enter the vertex.

98 possible nonzero vertices have been found - starting the computation:

`FeynRules`FR$FeynmanRules` , 98.

93 vertices obtained.

Flavor expansion of the vertices distributed over 2 cores: `FeynRules`FR$Count1` , 93

Computing the squared matrix elements relevant for the 1.2 decays:

`FeynRules`FR$DecayCounter` , 40

$$\begin{aligned}
 \text{Out[]}= & \{ \{ \{ H, b, b \}, \frac{3 \left(4 M_B^2 \cdot M_H^2 \right) \sqrt{4 M_B^2 M_H^2 \cdot M_H^4} y b^2}{16 \pi \text{Abs}[M_H]^3} \}, \\
 & \{ \{ H, \tau_a, \tau_a \}, \frac{\left(M_H^2 - 4 M_{TA}^2 \right) \sqrt{M_H^4 - 4 M_H^2 M_{TA}^2} y \tau a^2}{16 \pi \text{Abs}[M_H]^3} \}, \{ \{ H, \tau, \tau \}, \frac{3 \left(M_H^2 - 4 M_T^2 \right) \sqrt{M_H^4 - 4 M_H^2 M_T^2} y \tau^2}{16 \pi \text{Abs}[M_H]^3} \}, \\
 & \{ \{ H, W, W \}, \frac{e^4 \sqrt{M_H^4 - 4 M_H^2 M_W^2} \left(M_H^4 - 4 M_H^2 M_W^2 \cdot 12 M_W^4 \right) \text{vev}^2}{256 M_W^4 s_w^4 \text{Abs}[M_H]^3} \}, \\
 & \{ \{ Z, W, W \}, \frac{c_w^2 e^2 \sqrt{-4 M_W^2 M_Z^2 \cdot M_Z^4} \left(-48 M_W^6 - 68 M_W^4 M_Z^2 \cdot 16 M_W^2 M_Z^4 \cdot M_Z^6 \right)}{192 M_W^4 s_w^2 \text{Abs}[M_Z]^3} \}, \\
 & \{ \{ H, Z, Z \}, \frac{e^4 \sqrt{M_H^4 - 4 M_H^2 M_Z^2} \left(M_H^4 - 4 M_H^2 M_Z^2 \cdot 12 M_Z^4 \right) \left(c_w^2 \cdot s_w^2 \right)^4 \text{vev}^2}{512 c_w^4 M_Z^4 s_w^4 \text{Abs}[M_H]^3} \}, \\
 & \{ \{ W, u, d \}, \frac{e^2 M_W^4}{16 \pi s_w^2 \text{Abs}[M_W]^3} \}, \{ \{ W, c, s \}, \frac{e^2 M_W^4}{16 \pi s_w^2 \text{Abs}[M_W]^3} \},
 \end{aligned}$$

$$\{\{W, t, b\}, -\frac{e^2 \left(MB^4 \cdot MT^4 \cdot MT^2 M_W^2 - 2 M_W^4 \cdot MB^2 \left(2 MT^2 \cdot M_W^2 \right) \right) \sqrt{MB^4 \cdot \left(MT^2 - M_W^2 \right)^2 - 2 MB^2 \left(MT^2 \cdot M_W^2 \right)}}{32 M_W^2 s_w^2 Abs[M_W]^3}\},$$

$$\{b, W, t\}, -\frac{e^2 \left(MB^4 \cdot MT^4 \cdot MT^2 M_W^2 - 2 M_W^4 \cdot MB^2 \left(2 MT^2 \cdot M_W^2 \right) \right) \sqrt{MB^4 \cdot \left(MT^2 - M_W^2 \right)^2 - 2 MB^2 \left(MT^2 \cdot M_W^2 \right)}}{64 M_W^2 s_w^2 Abs[MB]^3}\},$$

$$\{t, W, b\}, -\frac{e^2 \left(MB^4 \cdot MT^4 \cdot MT^2 M_W^2 - 2 M_W^4 \cdot MB^2 \left(2 MT^2 \cdot M_W^2 \right) \right) \sqrt{MB^4 \cdot \left(MT^2 - M_W^2 \right)^2 - 2 MB^2 \left(MT^2 \cdot M_W^2 \right)}}{64 M_W^2 s_w^2 Abs[MT]^3}\},$$

$$\{\{W, ve, e\}, \frac{e^2 M_W^4}{48 s_w^2 Abs[M_W]^3}\}, \{\{W, vm, \mu\}, \frac{e^2 M_W^4}{48 s_w^2 Abs[M_W]^3}\},$$

$$\{\{W, vt, ta\}, \frac{e^2 \left(MTA^2 \cdot M_W^2 \right)^2 \left(MTA^2 \cdot 2 M_W^2 \right)}{96 M_W^2 s_w^2 Abs[M_W]^3}\}, \{\{ta, W, vt\}, \frac{e^2 \left(MTA^2 \cdot M_W^2 \right)^2 \left(MTA^2 \cdot 2 M_W^2 \right)}{64 M_W^2 s_w^2 Abs[MTA]^3}\},$$

$$\{\{Z, u, u\}, \frac{e^2 MZ^4 \left(9 c_w^4 - 6 c_w^2 s_w^2 \cdot 17 s_w^4 \right)}{288 c_w^2 s_w^2 Abs[MZ]^3}\}, \{\{Z, c, c\}, \frac{e^2 MZ^4 \left(9 c_w^4 - 6 c_w^2 s_w^2 \cdot 17 s_w^4 \right)}{288 c_w^2 s_w^2 Abs[MZ]^3}\},$$

$$\{Z, t, t\}, -\frac{e^2 \sqrt{.4 MT^2 MZ^2 \cdot MZ^4} \left(.9 c_w^4 \left(MT^2 - MZ^2 \right) \cdot 6 c_w^2 \left(11 MT^2 \cdot MZ^2 \right) s_w^2 \cdot \left(7 MT^2 \cdot 17 MZ^2 \right) s_w^4 \right)}{288 c_w^2 s_w^2 Abs[MZ]^3}\},$$

$$\{Z, d, d\}, \frac{e^2 MZ^4 \left(9 c_w^4 - 6 c_w^2 s_w^2 \cdot 5 s_w^4 \right)}{288 c_w^2 s_w^2 Abs[MZ]^3}\}, \{\{Z, s, s\}, \frac{e^2 MZ^4 \left(9 c_w^4 - 6 c_w^2 s_w^2 \cdot 5 s_w^4 \right)}{288 c_w^2 s_w^2 Abs[MZ]^3}\},$$

$$\{Z, b, b\}, -\frac{e^2 \sqrt{.4 MB^2 MZ^2 \cdot MZ^4} \left(.9 c_w^4 \left(MB^2 - MZ^2 \right) \cdot 6 c_w^2 \left(7 MB^2 \cdot MZ^2 \right) s_w^2 \cdot \left(17 MB^2 \cdot 5 MZ^2 \right) s_w^4 \right)}{288 c_w^2 s_w^2 Abs[MZ]^3}\},$$

$$\begin{aligned}
 & \{ \{Z, ve, ve\}, \frac{e^2 MZ^4 \left(c_w^2 \cdot s_w^2 \right)^2}{96 c_w^2 s_w^2 \text{Abs}[MZ]^3} \}, \{ \{Z, vm, vm\}, \frac{e^2 MZ^4 \left(c_w^2 \cdot s_w^2 \right)^2}{96 c_w^2 s_w^2 \text{Abs}[MZ]^3} \}, \\
 & \{ \{Z, vt, vt\}, \frac{e^2 MZ^4 \left(c_w^2 \cdot s_w^2 \right)^2}{96 c_w^2 s_w^2 \text{Abs}[MZ]^3} \}, \{ \{Z, e, e\}, \frac{e^2 MZ^4 \left(c_w^4 - 2 c_w^2 s_w^2 + 5 s_w^4 \right)}{96 c_w^2 s_w^2 \text{Abs}[MZ]^3} \}, \\
 & \{ \{Z, mu, mu\}, \frac{e^2 MZ^4 \left(c_w^4 - 2 c_w^2 s_w^2 + 5 s_w^4 \right)}{96 c_w^2 s_w^2 \text{Abs}[MZ]^3} \}, \\
 & \{ \{Z, ta, ta\}, \frac{e^2 \sqrt{4 MTA^2 MZ^2} \cdot MZ^4 \left(c_w^4 \left(MTA^2 \cdot MZ^2 \right) - 2 c_w^2 \left(5 MTA^2 \cdot MZ^2 \right) s_w^2 + 7 MTA^2 \cdot 5 MZ^2 \right) s_w^4}{96 c_w^2 s_w^2 \text{Abs}[MZ]^3} \} \}
 \end{aligned}$$

Renormalização

Após estudar o processo de renormalização, é possível tentar aplica-lo para um toy model de uma lagrangiana escalar com interação dada por $\phi^4/3!$. Sua amplitude será dada por

```
In[]:=  $\mu$ loop = (g^2/2).Integrate(1/(2. $\pi$ )^4).((k^2)^4).((k^2)^4), {k, 0,  $\infty$ })
```

Integrate: Integral of $\frac{1}{16 k^4}$ does not converge on (0, ∞). [i](#)

e aplicando a Parametrização de Feynman (e o shift $k \rightarrow k + p(1-x)$), além de introduzir o regulador de Pauli-Villars, é possível reduzir esforços e encontrar que a amplitude para o propagador do campo escalar (com $m \rightarrow 0$) é:

```
In[]:= cond = {g > 0, m == 0, p > 0,  $\Lambda$  > 0};
 $\mu$ loop = (g^2/(32. $\pi$ )^2).Integrate(Log[m^2 + p^2.x.(1-x)]/^( $\Lambda$ )^2, {x, 0, 1}, Assumptions -> cond)
Out[]:=  $\frac{g^2 \left( 2 \cdot \text{Log}\left[\frac{p^2}{\Lambda^2}\right] \right)}{32 \pi^2}$ 
```

agora finito após a regularização.

É possível fazer o mesmo para a teoria da QED (escalar e spinorial), onde a primeira das duas novamente terá um termo divergente com $1/k^4$ para o propagador do fóton a 1-loop fermiônico no meio, e

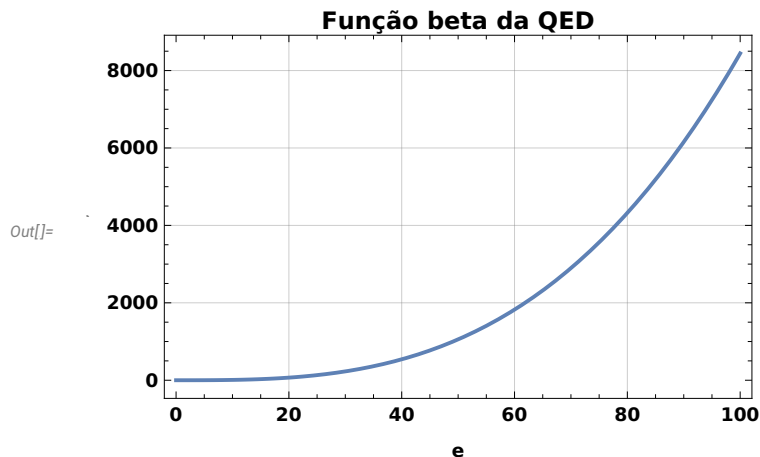
que ao expandir $d = 4 - \epsilon$ e tomar o limite $\epsilon \rightarrow 0$, tem-se que

Outro fator importante para a Renormalização é a Função Beta de uma teoria, que diz como seu acoplamento varia de acordo com a escala de energia (o “running” desse acoplamento). É possível analisar como elas podem evoluir conforme as escalas de energia vão crescendo; então para a QED e QCD, tem-se as funções

```
In[ ]:=  $\beta_{QED}(e) := e^3 / (12 \cdot \pi^2);$ 
 $\beta_{QCD}(g) := \left( 11 - \left( n_s / 6 \right) - \left( 2 \cdot n_f / 3 \right) \right) \cdot (g^3 / (16 \cdot \pi^2));$ 
```

que podem ser plotadas, e é visto que:

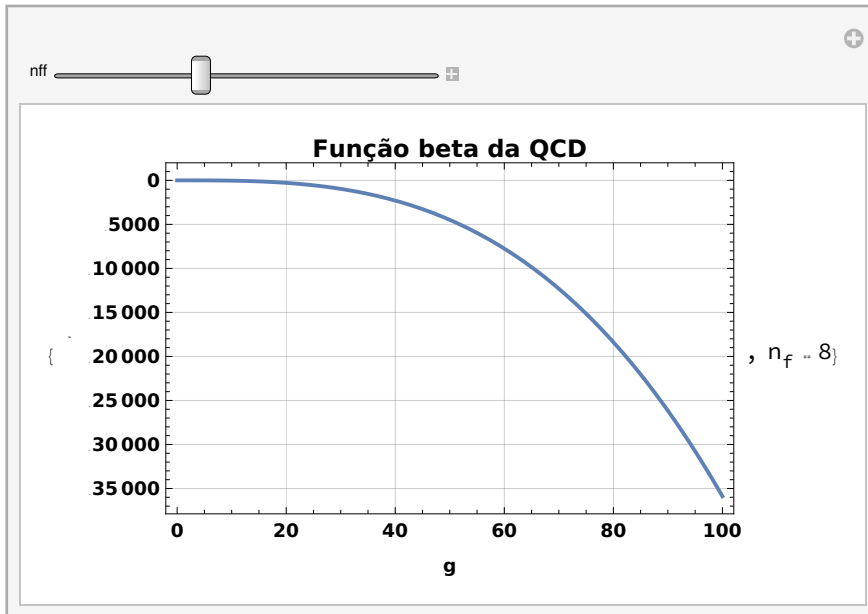
```
In[ ]:= Plot[ $\beta_{QED}(e)$ , {e, 0, 100}, Frame -> True, FrameLabel -> {"e", ""},
  LabelStyle -> Directive[Bold, 10], Ticks -> Automatic, ImageSize -> Medium,
  GridLines -> Automatic, PlotLabel -> "Função beta da QED"]
```




```

In[]:= plot2 .
Manipulate[Plot[QCD[g], {ns - 0, nf - nff}, {g, 0, 100}, Frame - True, FrameLabel - {"g", ""},
  Manipula Gráfico
  LabelStyle - Directive[Bold, 10], Ticks - Automatic, ImageSize - Medium,
  Estilo de etí Diretiva Negrito Marc Automático Tamanho da Tamanho mediano
  GridLines - Automatic, PlotLabel - "Função beta da QCD", nf - nff], {{nff, 8}, 1, 20, 1}
  Grade de l Automático Etiqueta de gráfico
    
```

Out[]:=



onde n_s é o número de bósons com cor e n_f o número de sabores (flavors) da teoria. É possível ver o comportamento da **Liberdade Assintótica**, já conhecido da QCD, onde o acoplamento tende a diminuir com a escala de energia (pelo menos para um número de sabores 16).

**Implementações com o pacote FeynRules serão formuladas em futuras atualizações*